

1. まえがき 諏訪湖は面積 14km^2 、最大水深 6.5m 、平均水深 4m たらずの非常に浅い湖で、一年間の大部分は鉛直方向に水温は一様である。このため前報¹⁾では、二次元一層モデルを諏訪湖に適用した数値実験について述べた。鉛直方向の水温分布が顯著になるのは、夏季に数日間無風状態が続いた後であるが 3m/s 以上の風が半日ほど吹くとこの水温分布はくずれ一様温度にならてしまう。そこで本研究は二次元二層モデルを諏訪湖に適用した数値実験を行ない、このことを確認するとともに二層が常にあけた状況における運動特性を調べることとする。

2. 基礎方程式²⁾ 浅い湖の流れを支配する方程式は、流れを定常と仮定すると上・下層に対し、 $-fV_i = -\frac{1}{\rho g} \frac{\partial P_i}{\partial x} + K_1 \frac{\partial U_i}{\partial z}$ …(1), $fU_i = -\frac{1}{\rho g} \frac{\partial P_i}{\partial y} + K_1 \frac{\partial V_i}{\partial z}$ …(2), $\frac{\partial U_i}{\partial z} + \frac{\partial V_i}{\partial z} + \frac{\partial W_i}{\partial z} = 0$ …(4), ($i=1, 2$) である。境界条件は水面で $K_1 \frac{\partial U_i}{\partial z} = T_x$, $K_1 \frac{\partial V_i}{\partial z} = T_y$, 上層と下層の界面で $z = -h/2$, $K_1 \frac{\partial U_i}{\partial z} = K_2 \frac{\partial U_i}{\partial z}$, $P_1 = P_2$, $U_1 = U_2$, $V_1 = V_2$, 湖底 $z = -H$ で $U_2 = V_2 = W_2 = 0$ である。ここに h , T_x , T_y は x , y , z 方向の流速で $z=0$ は静水面内であり、東, 北にそれぞれ正であり、 z は鉛直方向で上に正で静水面を $z=0$ とする。 P は圧力, ρ は水の密度, K は鉛直混合係数, f は摩擦係数, T_x, T_y は水表面に作用する風によるせん断応力, $+/-$ はコリオリ係数, 下字の数字 1 は上層を 2 は下層を意味する。 z を各層では一定として境界条件に従う方程式をとく、さらに(3)式を除く式より得られた結果を上, 下層で x 方向に積分すると $S_{1x} = E_1 \frac{\partial P_1}{\partial z} + F_1 \frac{\partial P_1}{\partial z} + G_1 \frac{\partial P_1}{\partial z} + E_2 \frac{\partial P_2}{\partial z} + E_3 T_y + E_4 T_x$ …(5), $S_{1y} = E_1 \frac{\partial P_1}{\partial z} + E_2 \frac{\partial P_2}{\partial z} + F_1 \frac{\partial P_1}{\partial z} + F_2 \frac{\partial P_2}{\partial z} + F_3 T_y + F_4 T_x$ …(6), $P_1 = P_1 - P_2$ …(7), $\frac{\partial S_{1x}}{\partial z} + \frac{\partial S_{1y}}{\partial z} = 0$ …(8), $S_{2x} = E_3 \frac{\partial P_1}{\partial z} + E_4 \frac{\partial P_2}{\partial z} + G_1 \frac{\partial P_1}{\partial z} + G_2 \frac{\partial P_2}{\partial z} + G_3 T_y + G_4 T_x$ …(9), $S_{2y} = I_1 \frac{\partial P_1}{\partial z} + I_2 \frac{\partial P_2}{\partial z} + I_3 \frac{\partial P_1}{\partial z} + I_4 \frac{\partial P_2}{\partial z} + I_5 T_y + I_6 T_x$ …(10), $P_2 = P_1 + \rho g h - (z+h)$ …(11), $\frac{\partial S_{2x}}{\partial z} + \frac{\partial S_{2y}}{\partial z} = 0$ …(12) となる。ここで S_{1x}, S_{1y} は上層の S_{2x}, S_{2y} は下層の x 方向の流量, h は静水面からの水深までの高さ, E_i, F_i, G_i, I_i ($i=1, 2, \dots, 6$) は h, H などの関数である係数である。またそれぞれの未知量は η, f などにより無次元化され(13)。上の(5)~(12)式より(7), (11)式を用い P_1, P_2 を消去すると、これらの式は $S_{1x}, S_{1y}, S_{2x}, S_{2y}, \eta, h$ を未知量とする連立微分方程式となり、境界条件を用いてこれを解けばよいわけであるが、これは数值的にしかよくこなしてできない。数値解法の方法としては大きく分け、格子点法、スペクトル法、有限要素法があり、それぞれ長所、短所を持つことから、ここでは境界条件の入れ易い有限要素法を用いることとする。

3 有限要素法による方程式の定式化

基礎方程式の E_i, F_i などの係数は未知量 h の関数であり、半構型の連立微分方程式となるが、この解法には h の第一近似を仮定し係数を計算し、これらを用いて方程式を解き、求まつた h を第二近似とし、さらに計算を続けるといふ逐次近似法によつてである。各要素の内挿関数を $S_{1x} = S_{1xi} \cdot N_i, S_{1y} = S_{1yi} \cdot N_i, S_{2x} = S_{2xi} \cdot N_i, S_{2y} = S_{2yi} \cdot N_i, \eta = \eta_i \cdot N_i, h = h_i \cdot N_i, F_1 = F_{1i} \cdot N_i, F_2 = F_{2i} \cdot N_i$ などとする。ここに添字 i は要素の節点を意味し、 N_i は形状関数である。要素を二等辺三角形として N_i は $N_i = a_i + b_i x + c_i y$ となり、 a_i, b_i, c_i は三

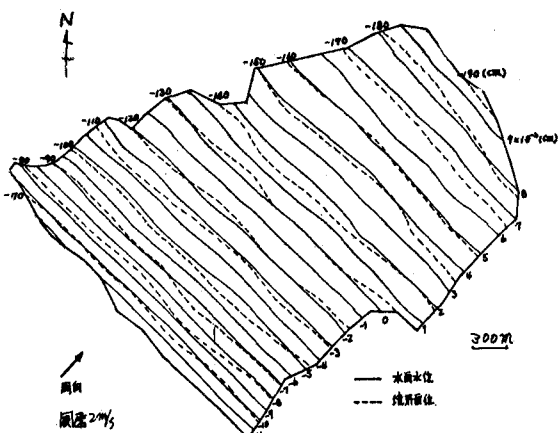


図-1 静水面からの水深水位と上下層の界面位置

角形の節点の座標の関数である。重み係数として N_{ij} を用ひると方程式は $[K] \cdot \{N\} = \{F\}$ となる。ここに $[K] = \iint [k_{ij}] \cdot dx dy$, $[k_{ij}]$ は 6×6 の行列である。

$$[k_{ij}] = \begin{pmatrix} N_i N_j, 0, -(E_1 + F_1) N_i b_j & 0, 0, (1-p_1) E_3 N_i b_j \\ 0, N_i N_j, -(E_2 + F_2) N_i b_j & 0, 0, (1-p_1) F_3 N_i b_j \\ N_i b_j, N_i C_j, 0, 0, 0, 0 & 0, 0, -(E_1 + F_1) N_i b_j \\ 0, 0, -(E_2 + F_2) N_i b_j, N_i N_j, 0, 0 & 0, 0, (1-p_1) E_3 N_i b_j \\ 0, 0, -(E_1 + F_1) N_i b_j, -C_1 N_i C_j, 0, N_i N_j & 0, 0, (1-p_1) F_3 N_i b_j \\ 0, 0, 0, N_i b_j, N_i C_j, 0 & 0, 0, -(E_2 + F_2) N_i b_j \end{pmatrix}$$

$\{N\}$ = 列ベクトル ($S_{11}, S_{12}, S_{13}, S_{21}, S_{22}, S_{23}, h_1$), $\{F\}$ = 列ベクトル ($\iint N_i (E_1 t_1 + E_2 t_2) dx dy, \iint N_i (F_1 t_1 + F_2 t_2) dx dy, 0, \iint N_i (E_3 t_1 + E_4 t_2) dx dy, \iint N_i (F_3 t_1 + F_4 t_2) dx dy, 0$) である。 $[K], \{F\}$ の面積積分は面積座標を用ひると容易にでき、(13)式の解法には構造力学における有限要素法の標準的アロケーションを用いればよい。ここでは未知数が多いため多元連立方程式の解法の一つであるユニット分割法を用ひたアロケーションによった。

3. 数値解析結果

湖面要素数383, 節点数

224の三角形要素で分割し、ユニット数は13とした。境界条件として流量は、全ての流入、流出を無視し湖岸で0.0とした。今は図-2の○印点で $z=0$ とし、上・下層の境界面の深さは、水温観測よりほぼ1.3mであるとの \times 印点でこの値とした。さらに上、下層の水温は 28°C , 22°C とした。では湖面全体で一意化バルケ式より計算し $K_1/K_2 = 4$ とし、上下層の値を各層の厚さの重みをつけて平均が、一層モデルを用いた理論的推進値に等しくなるように決めた。水深は文献3)に示してある。

次に風速 2m/s 、風向 45° の風が吹いた時の結果を示す。この時 $t=0.055\text{h}/\text{cm}^2$, $K_1=3.0\text{cm}^2/\text{s}$, $K_2=0.75\text{cm}^2/\text{s}$ である。図-1に水表面と上・下層境界面の位置、図-2, 3に上・下層の平均流速、図-4に図-2の×印点の鉛直方向流速分布図を示す。図-1より境界面の最浅部は無風時より70cmも上昇し-60cmほどになつてゐる。風速を 25m/s に上げると、結果は示さないが境界面は水面にまでてしまい、この時には正常的な二層状態は得られないといふ。 $K_1/K_2=2$ とした時にも同様な結果が得られていふが、後面の節で詳しいことは講義時に発表する。(計算には信大デジタルシステムを経由して東大型計算機を用いた。)

- 余越富介; 諸河内湖の湖流に関する研究. 第31回年講(1976), 2) K.R. Lee and J.A. Leggett; Computation for Circulation in Stratified Lakes, A.S.C.E. HYD. (1970), 3) 余越・富介; 諸河内湖の湖流について, 信大記要40号

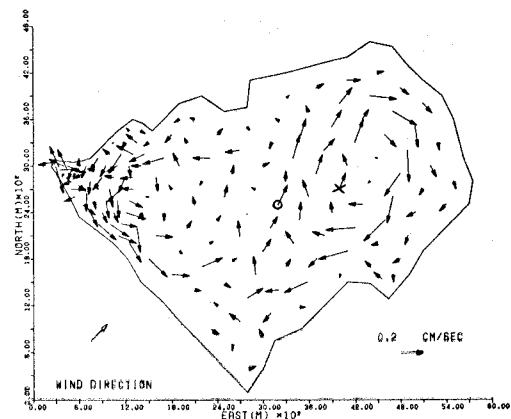


図-2 上層の平均流速(風速 2m/s)

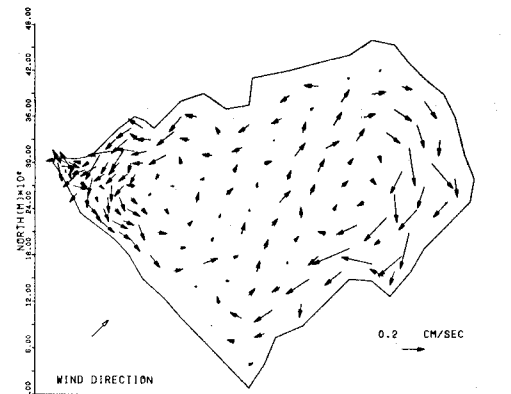


図-3 下層の平均流速(風速 2m/s)

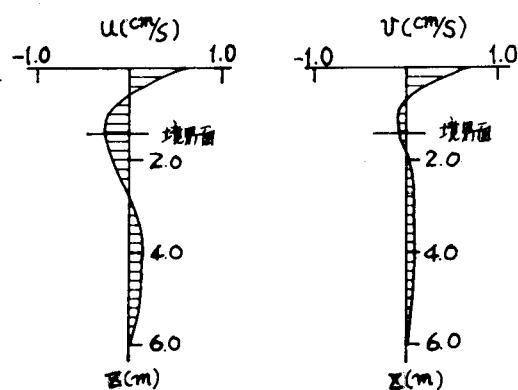


図-4. 鉛直方向流速分布(図-2×印点)
(風速 2m/s)